

Modelagem Matemática e Numérica do Processo de Recuperação de Petróleo

Prof. Dr. Luiz Carlos Radtke

XX Semana de Matemática
22 a 25 de setembro de 2020
Universidade Federal de Rondônia – UNIR

Sumário

1 Motivação

2 Problema Físico

3 Modelagem do Problema

- Conservação de Massa
- Lei de Darcy

4 Algoritmo de Escalonamento e Discretização dos Subsistemas

- Hidrodinâmica
- Transporte

5 Simulações

6 Conclusões

Sumário

1 Motivação

2 Problema Físico

3 Modelagem do Problema

- Conservação de Massa
- Lei de Darcy

4 Algoritmo de Escalonamento e Discretização dos Subsistemas

- Hidrodinâmica
- Transporte

5 Simulações

6 Conclusões

Petróleo

- Petróleo é um combustível fóssil que corresponde a uma substância oleosa cuja densidade é inferior à da água e é inflamável;



Petróleo

- Petróleo é um combustível fóssil que corresponde a uma substância oleosa cuja densidade é inferior à da água e é inflamável;
- A exploração mundial iniciou-se em meados do século XIX e utilizado em larga escala a partir da criação dos motores movidos a gasolina ou a óleo diesel;



Petróleo

- Petróleo é um combustível fóssil que corresponde a uma substância oleosa cuja densidade é inferior à da água e é inflamável;
- A exploração mundial iniciou-se em meados do século XIX e utilizado em larga escala a partir da criação dos motores movidos a gasolina ou a óleo diesel;
- No Brasil, o petróleo foi encontrado em 1939, no estado da Bahia, e, após dois anos, encontrou-se um depósito que apresentava viabilidade econômica para extração, no mesmo estado;



Petróleo

- Na década de 70, o petróleo representava o carro chefe da economia, correspondendo a quase 50% do consumo mundial de energia e mesmo que atualmente seu uso esteja dando lugar a fontes alternativas de energia, ainda é uma das fontes de energia mais utilizadas no mundo.



Petróleo

- Na década de 70, o petróleo representava o carro chefe da economia, correspondendo a quase 50% do consumo mundial de energia e mesmo que atualmente seu uso esteja dando lugar a fontes alternativas de energia, ainda é uma das fontes de energia mais utilizadas no mundo.
- Além da produção de gasolina, querosene e óleo diesel, o petróleo, é utilizado também como matéria-prima para a fabricação de plásticos, borrachas sintéticas, tintas, solventes, produtos cosméticos, asfalto, entre outros.



Extração e Recuperação de Petróleo

O processo de extração de petróleo é subdividido em três fases:

- Recuperação primária;
- Recuperação secundária;
- Recuperação terciária.



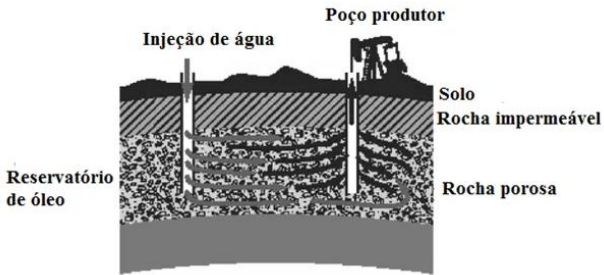
Recuperação primária

Durante a fase de recuperação primária, a produção do reservatório vem de uma série de mecanismos naturais. Estes incluem: água natural deslocando óleo para cima, para o poço, a expansão do gás natural na parte superior do reservatório, a expansão do gás inicialmente dissolvido no petróleo bruto, e de drenagem por gravidade resultante da circulação de óleo no alto do reservatório para as partes baixas onde estão localizados os poços. O fator de recuperação durante a fase de recuperação primária é tipicamente 5-15%.



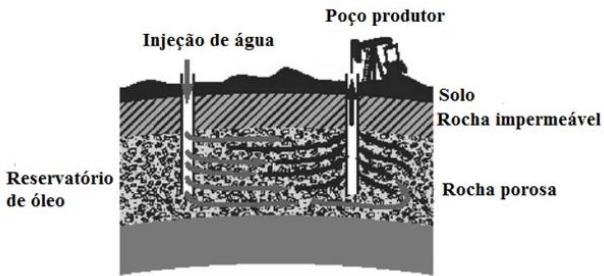
Recuperação Secundária

Após a produção primária do reservatório diminuir, métodos de recuperação secundária são aplicados. Dentre as diversas técnicas de recuperação secundária destacamos o aumento da pressão do reservatório por injeção de água, reinjeção de gás natural e gas lift, o qual injeta ar, gás carbônico ou algum outro gás para o fundo de um poço de produção, reduzindo a densidade global do fluido no poço. O fator de recuperação das operações típicas de inundação com água é de cerca de 30%, dependendo das propriedades do petróleo e as características da rocha reservatório. Em média, o fator de recuperação após as operações de recuperação primária e secundária de petróleo está entre 30 e 50%.



Recuperação Terciária

Métodos terciários, ou recuperação aprimorada de petróleo visam o aumento da mobilidade do óleo, a fim de aumentar a produção. Entre as diversas técnicas, destacamos os métodos termicamente melhorados de recuperação de petróleo (thermally enhanced oil recovery methods, TEOR) são técnicas de recuperação terciária em que se aquece o petróleo, reduzindo assim a viscosidade e facilitando a extração. A injeção de vapor é a forma mais comum de TEOR. Outra técnica utilizada é a injeção de surfactantes (detergentes) para alterar a tensão superficial entre a água e o óleo no reservatório. A recuperação terciária permite que mais 5 a 15% do petróleo do reservatório seja recuperado.



Sumário

1 Motivação

2 Problema Físico

3 Modelagem do Problema

- Conservação de Massa
- Lei de Darcy

4 Algoritmo de Escalonamento e Discretização dos Subsistemas

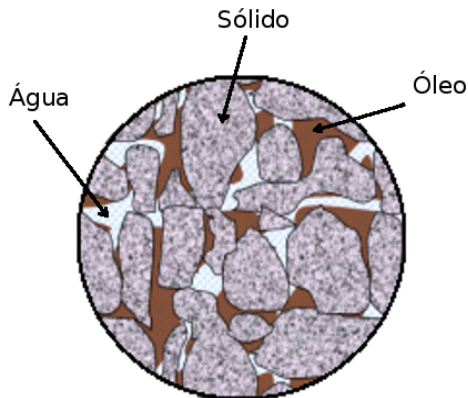
- Hidrodinâmica
- Transporte

5 Simulações

6 Conclusões

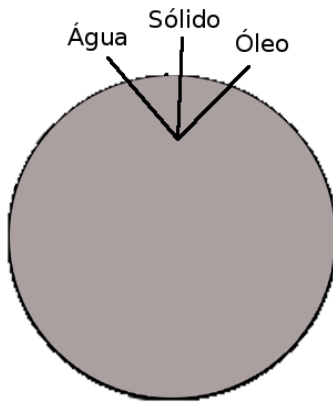
Escalas

- Escala de Campo - 10^3 m**
- Escala de Darcy - 10^0 m**
- Escala do Poro - 10^{-3} m**



Escalas

- Escala de Campo - 10^3 m**
- Escala de Darcy - 10^0 m**
- Escala do Poro - 10^{-3} m**

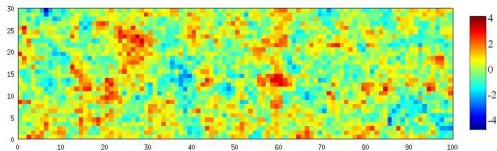


Escalas

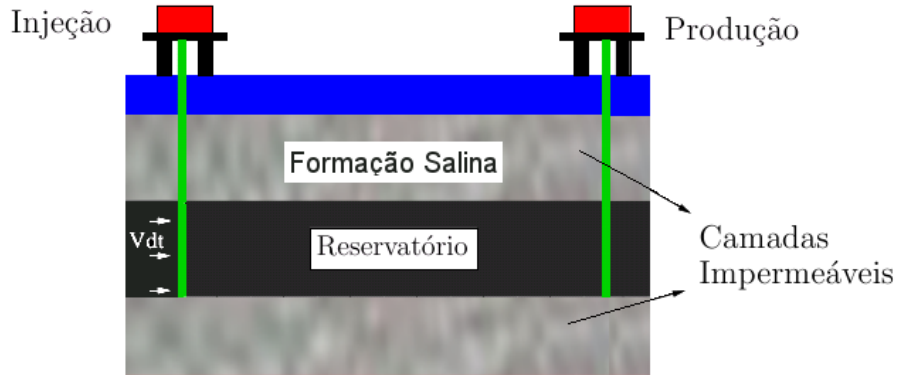
Escala de
Campo - 10^3 m

Escala de
Darcy - 10^0 m

Escala do
Poro - 10^{-3} m



Problema Físico



Sumário

1 Motivação

2 Problema Físico

3 Modelagem do Problema

- Conservação de Massa
- Lei de Darcy

4 Algoritmo de Escalonamento e Discretização dos Subsistemas

- Hidrodinâmica
- Transporte

5 Simulações

6 Conclusões

Hipóteses Adotadas

- Fluidos incompressíveis ($\rho_w = cte$, $\rho_o = cte$);

Hipóteses Adotadas

- Fluidos incompressíveis ($\rho_w = cte$, $\rho_o = cte$);
- Meio poroso rígido ($\frac{\partial \phi}{\partial t} = 0$);

Hipóteses Adotadas

- Fluidos incompressíveis ($\rho_w = cte$, $\rho_o = cte$);
- Meio poroso rígido ($\frac{\partial \phi}{\partial t} = 0$);
- Meio poroso heterogêneo isotrópico;

Hipóteses Adotadas

- Fluidos incompressíveis ($\rho_w = cte$, $\rho_o = cte$);
- Meio poroso rígido ($\frac{\partial \phi}{\partial t} = 0$);
- Meio poroso heterogêneo isotrópico;
- Pressão capilar nula;

Hipóteses Adotadas

- Fluidos incompressíveis ($\rho_w = cte$, $\rho_o = cte$);
- Meio poroso rígido ($\frac{\partial \phi}{\partial t} = 0$);
- Meio poroso heterogêneo isotrópico;
- Pressão capilar nula;
- Inclusão do empuxo;

Hipóteses Adotadas

- Fluidos incompressíveis ($\rho_w = cte$, $\rho_o = cte$);
- Meio poroso rígido ($\frac{\partial \phi}{\partial t} = 0$);
- Meio poroso heterogêneo isotrópico;
- Pressão capilar nula;
- Inclusão do empuxo;
- Não há troca de massa entre as fases.

Modelagem do Problema

Seja $\Omega_{RES} \subset \mathbb{R}^3$, com fronteira Γ_{RES} , o domínio ocupado por um meio poroso rígido constituído por uma fase sólida e duas fases fluidas coexistentes, as quais denotamos por água (w) e óleo (o). A fração de volume dos espaços intersticiais é dada pela porosidade

$$\phi = \frac{\text{Volume dos poros}}{\text{Volume total}},$$

e o percentual do volume poroso ocupado pela água e óleo são quantificados respectivamente pelas saturações S_w e S_o

$$S_\alpha = \frac{\text{Volume da fase } \alpha}{\text{Volume dos poros}}, \quad \alpha = w, o,$$

satisfazendo a restrição

$$S_w + S_o = 1. \tag{1}$$

Conservação de Massa

Fazendo uso das hipóteses simplificadoras mencionadas anteriormente, as leis de conservação de massa para as três fases envolvidas são expressas por

$$\phi \frac{\partial(S_\alpha)}{\partial t} + \operatorname{div}(\phi S_\alpha \mathbf{v}_\alpha) = 0, \quad \alpha = w, o. \quad (2)$$

onde \mathbf{v}_α ($\alpha = w, o$) são as velocidades das fases: água e óleo.

Em meios porosos rígidos, as velocidades de Darcy dos fluidos são definidas da forma

$$\mathbf{v}_{D\alpha} := \phi S_\alpha \mathbf{v}_\alpha, \quad \alpha = w, o. \quad (3)$$

Em termos das velocidades de Darcy, os balanços de massa podem ser reescritos da forma

$$\phi \frac{\partial(S_\alpha)}{\partial t} + \operatorname{div} \mathbf{v}_{D\alpha} = 0 \quad \alpha = w, o. \quad (4)$$

Conservação de Massa

Somando as equações dos balanços de massa das fases (4) e utilizando (1), obtemos o balanço de massa total do sistema

$$\operatorname{div} (\mathbf{v}_{Dw} + \mathbf{v}_{Do}) = 0. \quad (5)$$

Definindo a velocidade de Darcy total da mistura fluida da forma

$$\mathbf{v}_{Dt} = \mathbf{v}_{Dw} + \mathbf{v}_{Do}, \quad (6)$$

podemos reescrever (5) da forma

$$\operatorname{div} \mathbf{v}_{Dt} = 0. \quad (7)$$

Lei de Darcy

Para escoamentos multifásicos e na ausência de efeitos capilares, a lei de Darcy é dada por

$$\mathbf{v}_{D\alpha} = -k_{r\alpha}(S_\alpha) \frac{\kappa(\mathbf{x})}{\mu_\alpha} (\nabla p - \rho_\alpha \mathbf{g}), \quad \alpha = w, o, \quad (8)$$

onde μ_α é a viscosidade da fase α , $\kappa(\mathbf{x})$ a permeabilidade hidráulica do meio poroso, $k_{r\alpha}$ a permeabilidade relativa, ρ_α a densidade do fluido α , \mathbf{g} a gravidade e $p = p_w = p_o$ a pressão da mistura fluida.

As funções de permeabilidade relativa são obtidas experimentalmente como funções da saturação de água. Adotamos neste trabalho a lei de Brooks e Corey que apresenta dependência quadrática

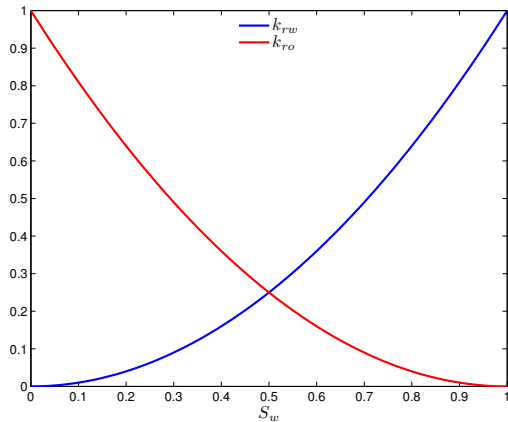
$$k_{rw} = \frac{(S_w - S_{rw})^2}{(1 - S_{rw})^2}, \quad (9)$$

$$k_{ro} = \frac{(1 - S_w - S_{ro})^2}{(1 - S_{ro})^2}, \quad (10)$$

onde S_{rw} é a saturação residual da água e S_{ro} a saturação residual do óleo.

Lei de Darcy

O comportamento das permeabilidades relativas para saturações residuais nulas é ilustrado abaixo



Lei de Darcy

Definimos as funções de mobilidade total λ_t e fracionárias de fluxo λ_α ($\alpha = w, o$) a partir das permeabilidades relativas da forma

$$\lambda_t(S_w) := \frac{k_{rw}}{\mu_w} + \frac{k_{ro}}{\mu_o}, \quad (11)$$

$$\lambda_\alpha := \frac{k_{r\alpha}}{\mu_\alpha \lambda_t(S_w)}, \quad \alpha = w, o, \quad (12)$$

$$\lambda_w(S_w) + \lambda_o(S_w) = 1. \quad (13)$$

No presente trabalho adotamos a formulação em velocidade total ($\mathbf{v}_{Dt} := \mathbf{v}_{Dw} + \mathbf{v}_{Do}$). Assim somando as leis de Darcy (8) e utilizando as funções de mobilidades em (11) e (12), obtemos a lei de Darcy para a velocidade da mistura

$$\mathbf{v}_{Dt} = -\lambda_t(S_w)\kappa(\mathbf{x})(\phi) \left(\nabla p - \left(\lambda_w(S_w)\rho_w + \lambda_o(S_w)\rho_o \right) \mathbf{g} \right). \quad (14)$$

Lei de Darcy

Uma vez computada a velocidade de percolação da mistura, as velocidades das fases água e óleo são pós-processadas. Utilizando a definição de velocidade total da mistura (6), juntamente com as velocidades das fases (8) e as definições de mobilidades relativas (12), reescrevemos a lei de Darcy da fase água

$$\mathbf{v}_{Dw}(S_w) = \lambda_w(S_w)(\mathbf{v}_{Dt} - \eta k_{ro}(S_w)), \quad (15)$$

onde η quantifica a influência do empuxo sobre o movimento da água

$$\eta = \frac{\kappa(\mathbf{x})}{\mu_w} (\rho_w - \rho_o) \mathbf{g}. \quad (16)$$

Inserindo-a em (4), podemos escrever a equação de transporte da água em função da velocidade total da mistura (\mathbf{v}_{Dt})

$$\phi \frac{\partial(S_w)}{\partial t} + \operatorname{div} \left(\lambda_w(S_w) (\mathbf{v}_{Dt} - \eta k_{ro}(S_w)) \right) = 0. \quad (17)$$

Modelo Matemático para o Reservatório (Ω_{RES})

Achar os campos $\mathbf{v}_{Dt}(\mathbf{x}, t)$, $p(\mathbf{x}, t)$ e $S_w(\mathbf{x}, t)$ satisfazendo

$$\left\{ \begin{array}{l} \beta \frac{\partial p}{\partial t} + \operatorname{div} \mathbf{v}_{Dt} = 0 \\ \mathbf{v}_{Dt} = -\lambda_t(S_w)K(\phi)(\nabla p + \mathbb{E}) \\ \\ \phi \frac{\partial(S_w)}{\partial t} + \operatorname{div} \left(\underbrace{\lambda_w(S_w)\mathbf{v}_{Dt} - \lambda_w(S_w)\eta k_{ro}}_{\mathbf{v}_{Dw}} \right) = 0 \end{array} \right. \begin{array}{l} \text{Hidrodinâmica} \\ \\ \text{Transporte} \end{array}$$

+ condições iniciais e de contorno

Sumário

1 Motivação

2 Problema Físico

3 Modelagem do Problema

- Conservação de Massa
- Lei de Darcy

4 Algoritmo de Escalonamento e Discretização dos Subsistemas

- Hidrodinâmica
- Transporte

5 Simulações

6 Conclusões

Equação de difusão (Euler implícito)

Encontrar o par $\{\mathbf{v}_{Dt}^{n,k}, p^{n,k}\}$ tal que

$$\begin{cases} \mathbf{v}_{Dt}^{n,k} = -\lambda_t(S_w^{n-1})K(\phi) \left(\nabla p^{n,k} - \mathbb{E}^{n-1} \right) \\ \beta \frac{p^{n,k} - p^{n-1}}{\Delta t_v} + \operatorname{div} \mathbf{v}_{Dt}^{n,k} = 0 \end{cases}$$

onde

$$\mathbb{E}^{n-1} = (\lambda_w(S_w^{n-1})\rho_w + \lambda_o(S_w^{n-1})\rho_o)\mathbf{g}$$

+ condições iniciais e de contorno

Formulação Mista Dual

Encontrar o par $\{\mathbf{v}_{Dt}^{n,k}, p^{n,k}\} \in \mathcal{V} \times L^2(\Omega)$ tal que

$$\left\{ \begin{array}{l} \left\langle \frac{1}{\lambda_t(S_w^{n-1})K(\phi)} \mathbf{v}_{Dt}^{n,k}, \mathbf{v} \right\rangle - \langle p^{n,k}, \operatorname{div} \mathbf{v} \rangle = \langle \mathbb{E}^{n-1}, \mathbf{v} \rangle \quad \forall \mathbf{v} \in \mathcal{X} \\ \left\langle \beta \frac{p^{n,k} - p^{n-1}}{\Delta t_v} + \operatorname{div} \mathbf{v}_{Dt}^{n,k}, q \right\rangle = 0 \quad \forall q \in L^2(\Omega) \end{array} \right.$$

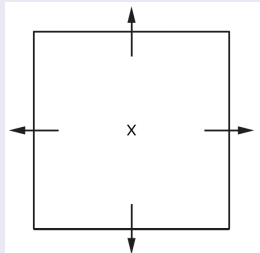
- $H(\operatorname{div}(\Omega)) = \{\mathbf{v} \in \{L^2(\Omega)\}^2; \operatorname{div} \mathbf{v} \in L^2(\Omega)\}$
- $\mathcal{V} = \{\mathbf{v} \in H(\operatorname{div}(\Omega)); \mathbf{v} \cdot \mathbf{n} = Q \text{ sobre } \Gamma_N^p\}$
- $\mathcal{X} = \{\mathbf{v} \in H(\operatorname{div}(\Omega)); \mathbf{v} \cdot \mathbf{n} = 0 \text{ sobre } \Gamma_N^p\}$

Raviart Thomas (RT_0)

Encontrar o par $\{\mathbf{v}_{Dt,h}^{n,k}, p_h^{n,k}\} \in \mathcal{V}_h \times \mathbb{P}^0$ tal que

$$\begin{cases} \left\langle \frac{1}{\lambda_t(S_w^{n-1})K(\phi)} \mathbf{v}_{Dt,h}^{n,k}, \mathbf{v}_h \right\rangle - \left\langle p_h^{n,k}, \operatorname{div} \mathbf{v}_h \right\rangle = \left\langle \mathbb{E}_h^{n-1}, \mathbf{v}_h \right\rangle & \forall \mathbf{v}_h \in \mathcal{X}_h \\ \left\langle \beta p_h^{n,k} + \Delta t_v \operatorname{div} \mathbf{v}_{Dt,h}^{n,k}, q_h \right\rangle = \left\langle \beta p_h^{n-1}, q_h \right\rangle & \forall q_h \in \mathbb{P}^0 \end{cases}$$

- $\mathbb{P}^0 = \{\psi_h \in C^{-1}(\Omega); \psi|_T \in \mathbb{P}_0(T)\}$
- $\mathcal{V}_h = \{\mathbf{v}_{Dt} \in RT_h^0; \mathbf{v}_{Dt} \cdot \mathbf{n} = Q \text{ sobre } \Gamma_N^p\}$
- $\mathcal{X}_h = \{\mathbf{v}_{Dt} \in RT_h^0; \mathbf{v}_{Dt} \cdot \mathbf{n} = 0 \text{ sobre } \Gamma_N^p\}$



Condensação Estática da Pressão

$$\begin{cases} \left\langle \frac{1}{\lambda_t(S_w^{n-1})K(\phi)} \mathbf{v}_{Dt,h}^{n,k}, \mathbf{v}_h \right\rangle - \left\langle p_h^{n,k}, \operatorname{div} \mathbf{v}_h \right\rangle = \left\langle \mathbb{E}_h^{n-1}, \mathbf{v}_h \right\rangle & \forall \mathbf{v}_h \in \mathcal{X}_h \\ \left\langle \beta p_h^{n,k} + \Delta t_v \operatorname{div} \mathbf{v}_{Dt,h}^{n,k}, q_h \right\rangle = \left\langle \beta p_h^{n-1}, q_h \right\rangle & \forall q_h \in \mathbb{P}^0 \end{cases}$$

$$p_h^{n,k}|_T = -\frac{\Delta t_v}{\beta_T} (\operatorname{div} \mathbf{v}_{Dt,h}^{n,k})|_T + p_h^{n-1}|_T$$

Hidrodinâmica

Encontrar $\mathbf{v}_{Dt,h}^{n,k} \in \mathcal{V}_h$, tal que

$$\begin{aligned} \left\langle \frac{1}{\lambda_t(S_w^{n-1})K(\phi)} \mathbf{v}_{Dt,h}^{n,k}, \mathbf{v}_h \right\rangle + \left\langle \frac{\Delta t_v}{\beta} \operatorname{div} \mathbf{v}_{Dt,h}^{n,k}, \operatorname{div} \mathbf{v}_h \right\rangle &= \left\langle \mathbb{E}_h^{n-1}, \mathbf{v}_h \right\rangle + \\ &+ \left\langle p_h^{n-1}, \operatorname{div} \mathbf{v}_h \right\rangle \quad \forall \mathbf{v}_h \in \mathcal{X}_h \end{aligned}$$

Método Numérico do Transporte (Volumes Finitos)

Kurganov e Tadmor (2000) e Correa e Borges (2013)

Integral da lei de conservação

$$\int_{t^n}^{t^{n+1}} \int_C \left(\phi \frac{\partial S}{\partial t} + \operatorname{div} \mathcal{F}(S, \mathbf{v}_{Dt}, \phi, \mathbf{u}) \right) d\Omega dt = 0$$

Saturação média

$$\bar{S}_{ij}^n = \frac{1}{|\mathbf{C}_{ij}|} \int_{\mathbf{C}_{ij}} L_{ij}^n(\mathbf{x}) d\Omega$$

Algoritmo REA (Reconstruct-Evolve-Average)

Reconstrução: Linear por Partes (Convergência quadrática)

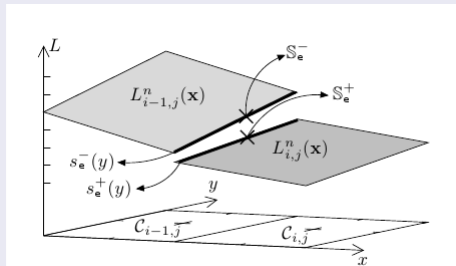
$$L_{ij}^n(\mathbf{x}) = \bar{S}_{ij}^n + (x - x_i)(S_x)_{ij}^n + (y - y_i)(S_y)_{ij}^n, \quad (x, y) = \mathbf{x} \in \mathbf{C}_{ij}$$

Estimativa numérica das derivadas direcionais (Função Min Mod)

$$(S_x)_{ij}^n = \text{MinMod} \left(\alpha \frac{\bar{S}_{ij} - \bar{S}_{i-1j}}{h_x}, \frac{\bar{S}_{i+1j} - \bar{S}_{i-1j}}{2h_x}, \frac{\bar{S}_{i+1j} - \bar{S}_{ij}}{h_x} \right)$$
$$(S_y)_{ij}^n = \text{MinMod} \left(\frac{\bar{S}_{ij} - \bar{S}_{ij-1}}{h_y}, \frac{\bar{S}_{ij+1} - \bar{S}_{ij-1}}{2h_y}, \frac{\bar{S}_{ij+1} - \bar{S}_{ij}}{h_y} \right)$$

Restrição:

$$\bar{S}_{ij}^n = \frac{1}{|\mathbf{C}_{ij}|} \int_{\mathbf{C}_{ij}} L_{ij}^n(\mathbf{x}) d\Omega$$



Evolução: Restrita a condição CFL

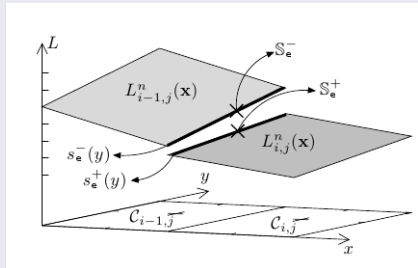
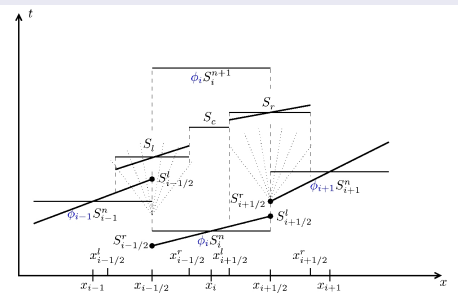
Velocidade máxima de propagação local

$$a_\beta = \frac{\max_{S_w^* \in [\mathbb{S}_\beta^{\min}, \mathbb{S}_\beta^{\max}]} \left\{ \frac{d\varphi}{dS_w^*} \right\}}{\min\{\phi_\beta, \phi_c\}} \quad \beta = e, d, s, i$$

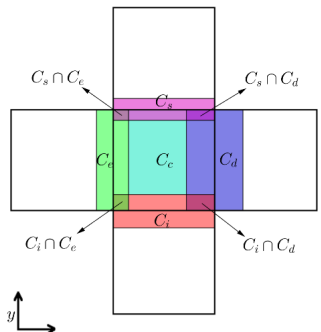
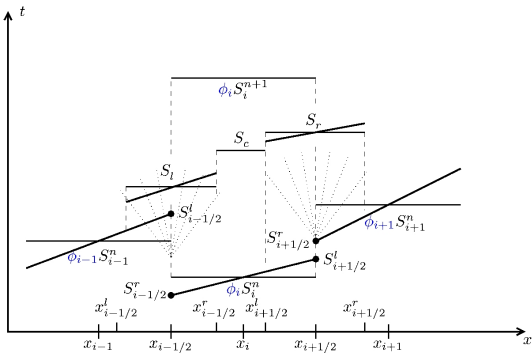
em que

$$\mathbb{S}_\beta^{\min} = \min \{s_\beta^-(x), s_\beta^+(x)\},$$

$$\mathbb{S}_\beta^{\max} = \max \{s_\beta^-(x), s_\beta^+(x)\}.$$



$$\begin{aligned}
S_{C_e} &= \frac{1}{2\phi_{C_l}} \left\{ \left(\phi_c S_e^+ + \phi_l S_e^- \right) - \frac{1}{a_e} [f(S_{eC}, t^n) - f(S_{eN}, t^n)] \right\} \\
S_{C_d} &= \frac{1}{2\phi_{C_r}} \left\{ \left(\phi_c S_d^- + \phi_r S_d^+ \right) - \frac{1}{a_d} [f(S_{rN}, t^n) - f(S_{rC}, t^n)] \right\} \\
S_{C_i} &= \frac{1}{2\phi_{C_d}} \left\{ \left(\phi_c S_i^+ + \phi_d S_i^- \right) - \frac{1}{a_i} [g(S_{dC}, t^n) - g(S_{dN}, t^n)] \right\} \\
S_{C_s} &= \frac{1}{2\phi_{C_u}} \left\{ \left(\phi_c S_s^- + \phi_u S_s^+ \right) - \frac{1}{a_s} [g(S_{uN}, t^n) - g(S_{uC}, t^n)] \right\} \\
|\mathbf{C}_c| S_{C_c} &= \frac{|\mathbf{C}_c|}{|\mathbf{C}_{ij}|} S_{ij}^n + \Delta \bar{t} \left\{ \frac{1}{2} [(a_e - a_d)(S_x)_{ij} + (a_i - a_s)(S_y)_{ij}] \right. \\
&\quad \left. - \frac{[f(S_{rC}, t^n) - f(S_{eC}, t^n)]}{\phi_c \Delta x} - \frac{[g(S_{uC}, t^n) - g(S_{dC}, t^n)]}{\phi_c \Delta y} \right\}
\end{aligned}$$



Projeção

$$\bar{S}_{ij} = \frac{\Delta\bar{t}}{\Delta x} \{a_e S_{C_e} + a_d S_{C_d}\} + \frac{\Delta\bar{t}}{\Delta y} \{a_i S_{C_i} + a_s S_{C_s}\} + \frac{|\mathbf{C}_c|}{|\mathbf{C}_{ij}|} S_{C_c}$$

Formulação Semi-Discreta

$$\frac{dS_{ij}}{dt} = \frac{H_d - H_e}{\Delta x} + \frac{H_s - H_i}{\Delta y}$$

Fluxos numéricos

$$H_\beta = \frac{a_\beta \phi_\beta}{\phi_c + \phi_\beta} (S_\beta^+ - S_\beta^-) - \frac{1}{\phi_c} \left[\frac{\phi_c \varphi(S_\beta^+) + \phi_\beta \varphi(S_\beta^-)}{\phi_c + \phi_\beta} \right], \quad \text{para } \beta = s, d$$

$$H_\beta = \frac{a_\beta \phi_\beta}{\phi_c + \phi_\beta} (S_\beta^+ - S_\beta^-) - \frac{1}{\phi_c} \left[\frac{\phi_\beta \varphi(S_\beta^+) + \phi_c \varphi(S_\beta^-)}{\phi_c + \phi_\beta} \right], \quad \text{para } \beta = e, i.$$

Sumário

1 Motivação

2 Problema Físico

3 Modelagem do Problema

- Conservação de Massa
- Lei de Darcy

4 Algoritmo de Escalonamento e Discretização dos Subsistemas

- Hidrodinâmica
- Transporte

5 Simulações

6 Conclusões

Comparação com Solução Analítica - Transporte

O problema modelo neste caso consiste na injeção de óleo em um reservatório composto por uma matriz porosa rígida, inicialmente saturada por óleo e água, conforme ilustrado na figura abaixo, com velocidade de percolação total unitária. A forma unidimensional da equação de transporte para o meio rígido com porosidade unitária ($\phi = 1$) é dada por

$$\frac{\partial S_w}{\partial t} + \frac{\partial}{\partial x} (\mathbf{v}_{Dw}) = 0, \quad (18)$$

onde \mathbf{v}_{Dw} é a velocidade de Darcy da água, a qual, usando (15) com velocidade total constante, pode ser expressa por

$$\mathbf{v}_{Dw} = \lambda_w(S_w) \left(1 + \frac{\kappa(\mathbf{x})}{\mu_w} (\rho_w - \rho_o) g k_{ro} \right).$$



Comparação com Solução Analítica

Considerando a equação (18) juntamente com a condição de contorno

$$S_w = 0 \text{ em } x = 0,$$

e a condição inicial

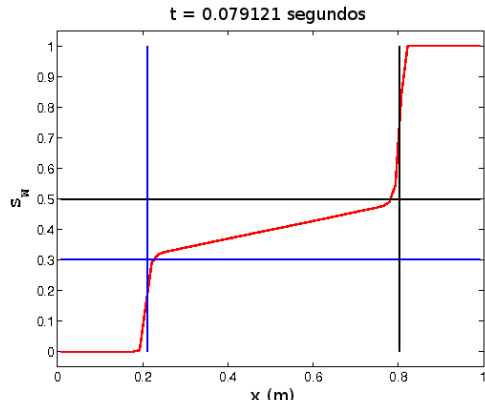
$$S_w(x, 0) = 0, \quad x \leq 0,5 \text{ m},$$

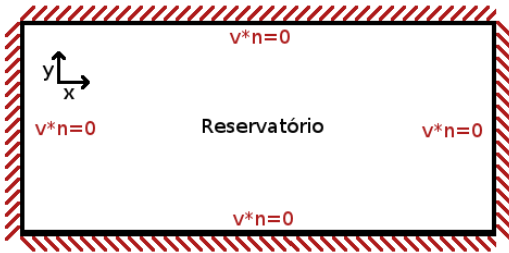
$$S_w(x, 0) = 1, \quad x > 0,5 \text{ m},$$

definimos um problema de Riemann não linear, cuja solução analítica $S_w(x, t)$ pode ser encontrada utilizando a envoltória de Oleinik.

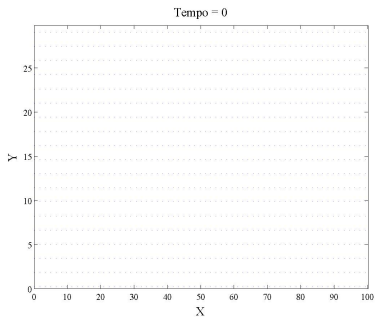
Comparação com Solução Analítica

Considerando $\kappa(x)/\mu_w(\rho_w - \rho_o)g = 10$, a solução é caracterizada pela propagação de duas frentes de ondas. Uma com velocidade de -3.4926 m/s , para saturações menores que 0.3015 , que ocorre devido à diferença de densidade entre os fluidos, fazendo com que a água escoe no sentido contrário ao da velocidade de injeção, e outra, com velocidade de 4 m/s , para saturações maiores que 0.5001 . Ligando as duas ondas de choque temos uma onda de rarefação.

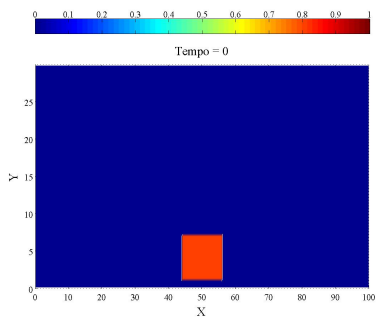




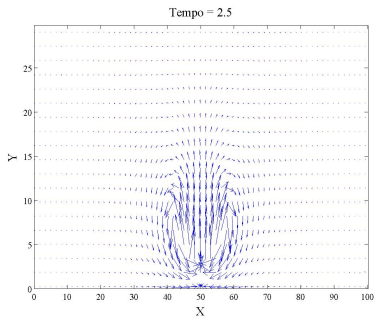
Velocidade



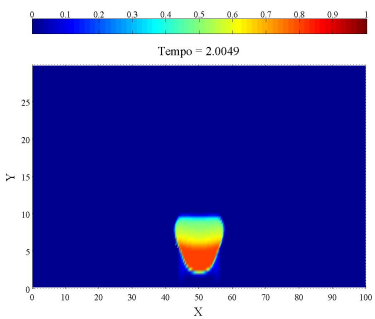
Saturação



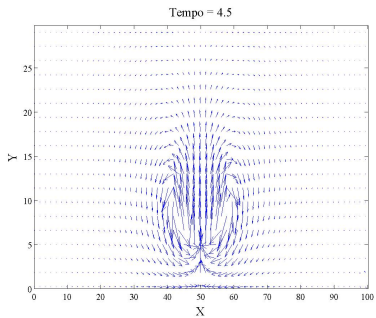
Velocidade



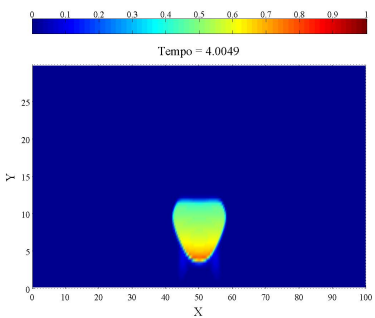
Saturação



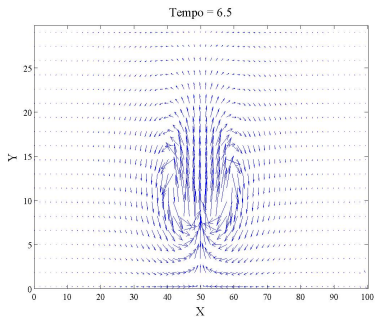
Velocidade



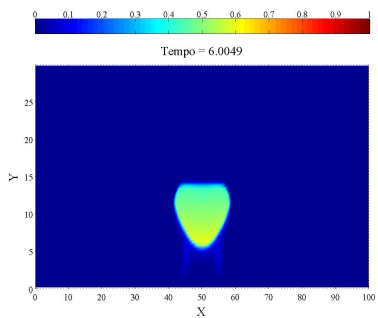
Saturação



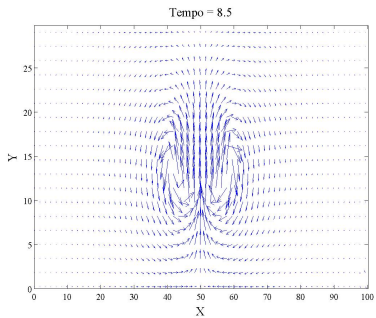
Velocidade



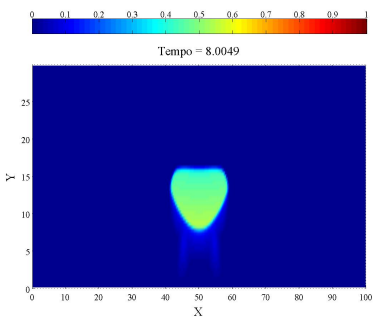
Saturação



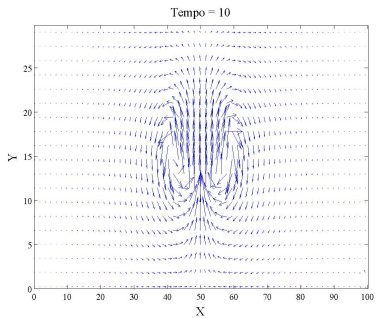
Velocidade



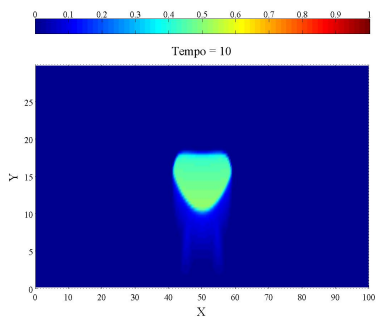
Saturação



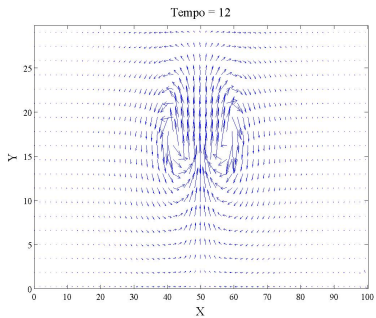
Velocidade



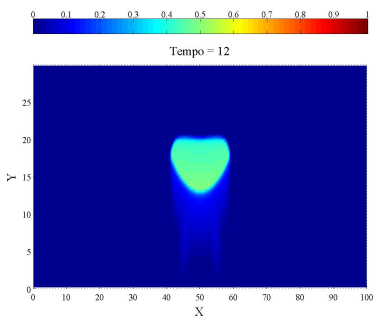
Saturação



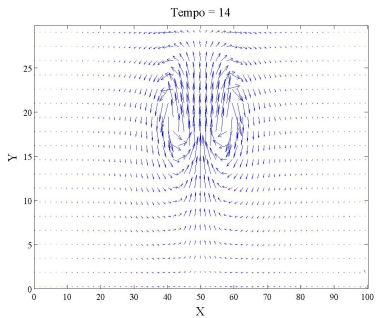
Velocidade



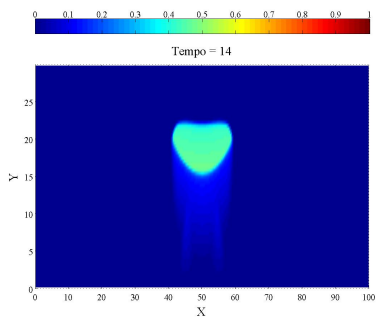
Saturação



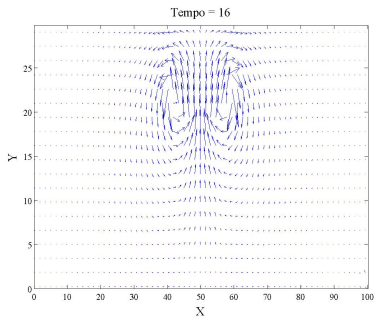
Velocidade



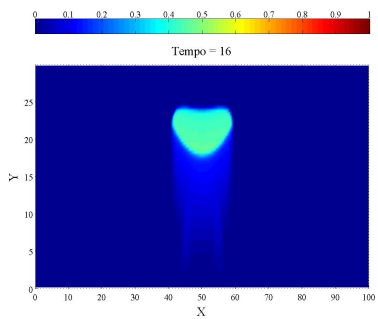
Saturação



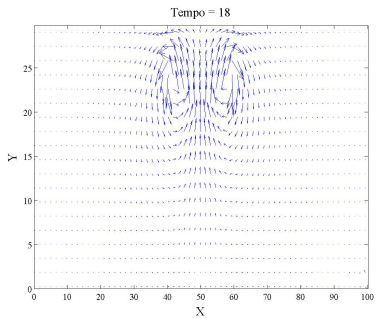
Velocidade



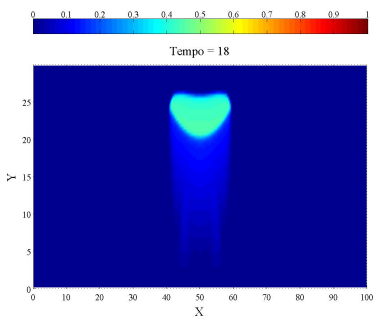
Saturação



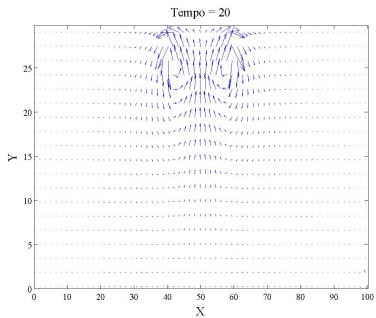
Velocidade



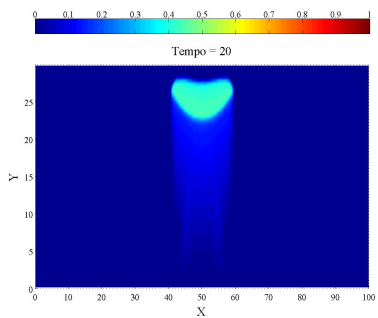
Saturação



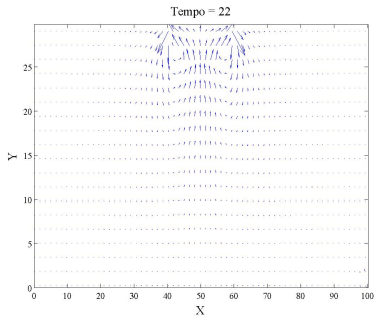
Velocidade



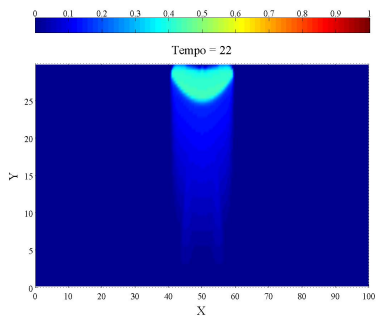
Saturação



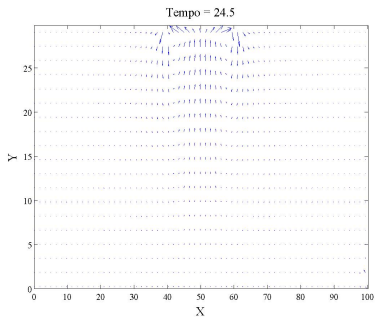
Velocidade



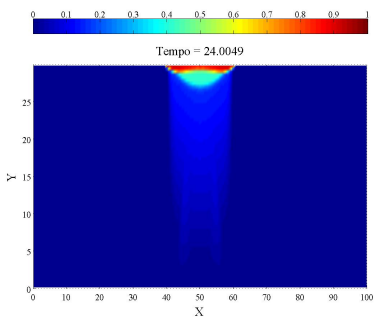
Saturação

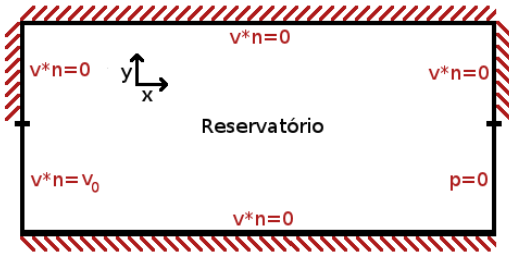


Velocidade



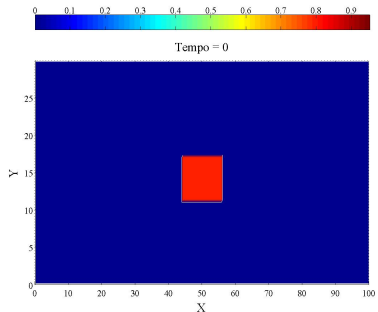
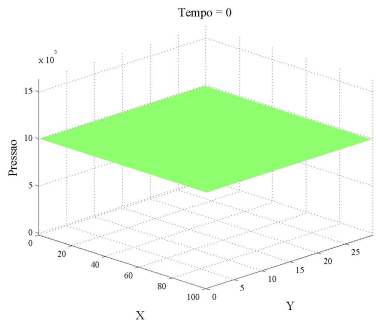
Saturação





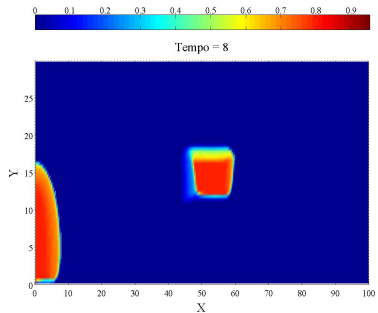
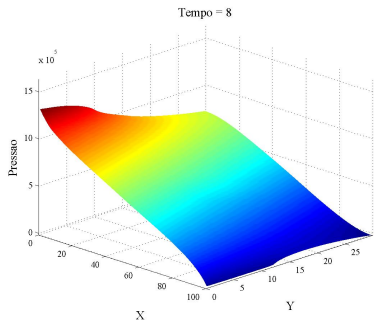
Pressão

Saturação



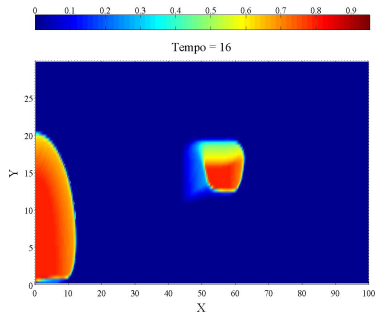
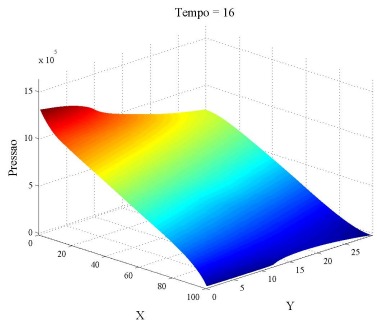
Pressão

Saturação



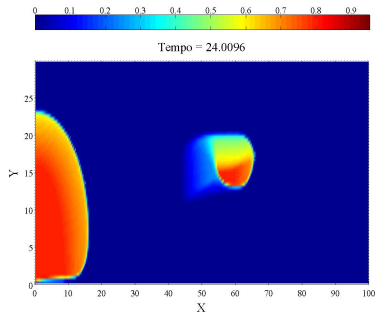
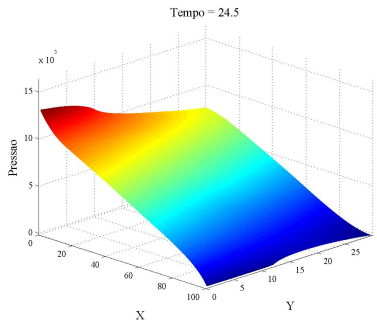
Pressão

Saturação



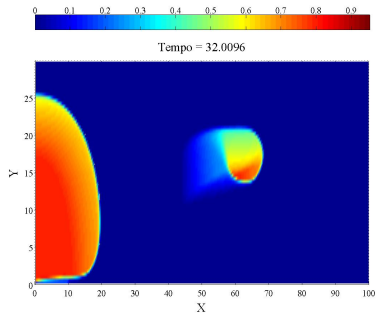
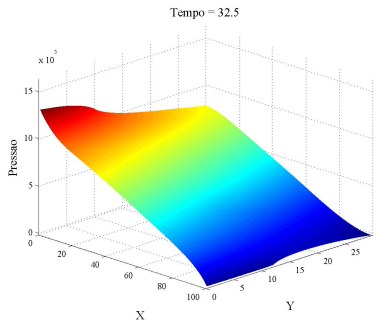
Pressão

Saturação



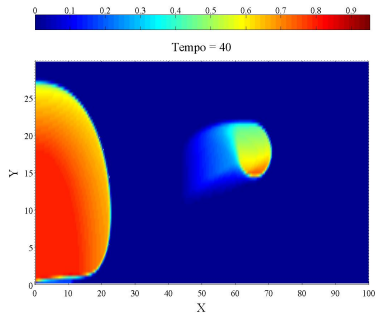
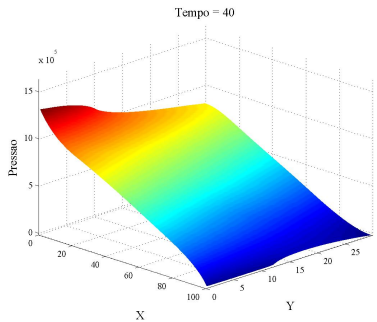
Pressão

Saturação



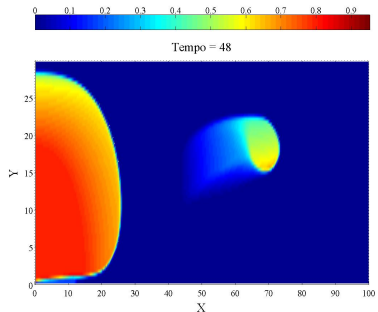
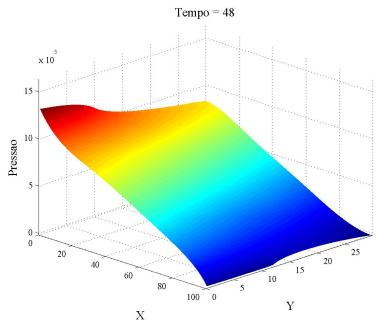
Pressão

Saturação



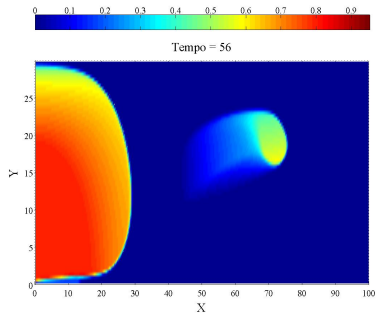
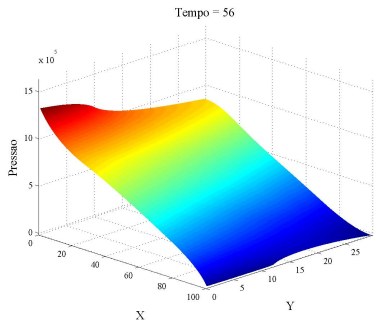
Pressão

Saturação



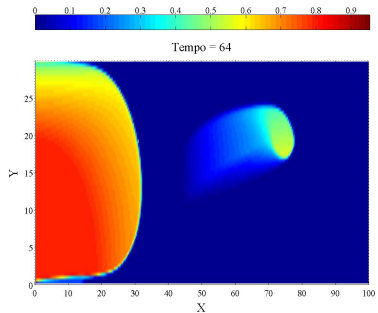
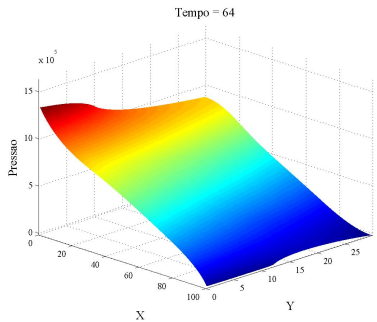
Pressão

Saturação



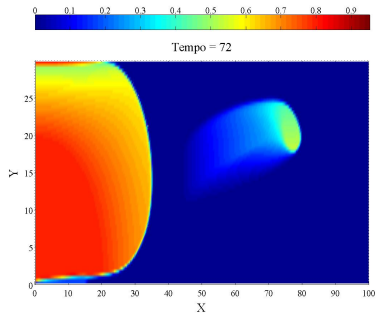
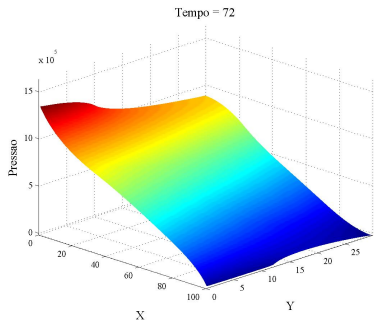
Pressão

Saturação

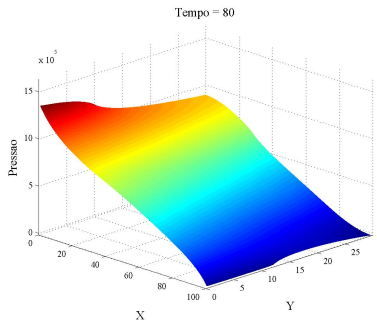


Pressão

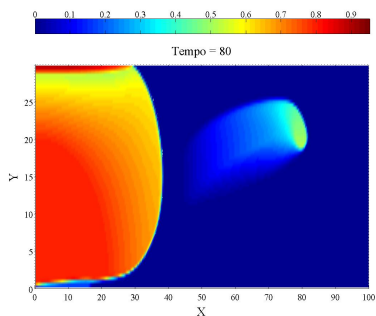
Saturação



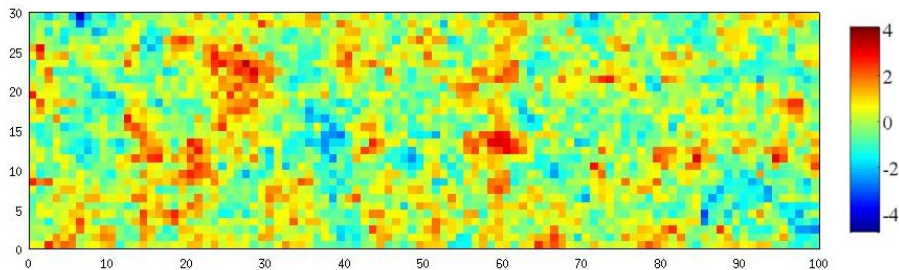
Pressão



Saturação

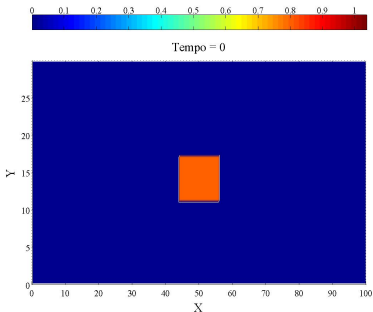
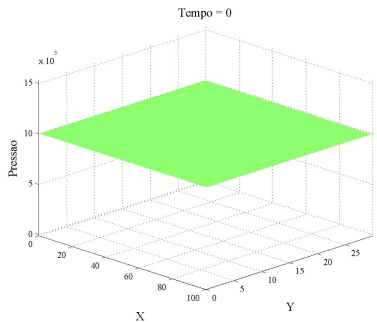


Meio Heterogênio



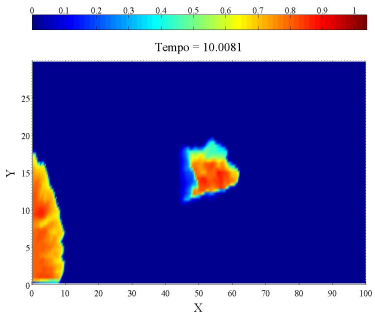
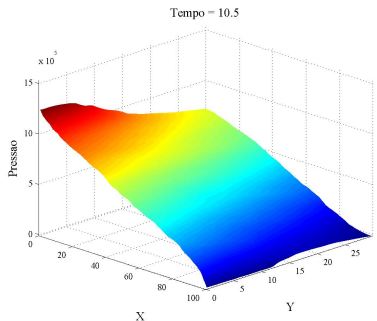
Pressão

Saturação



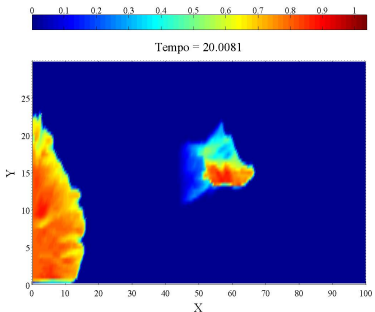
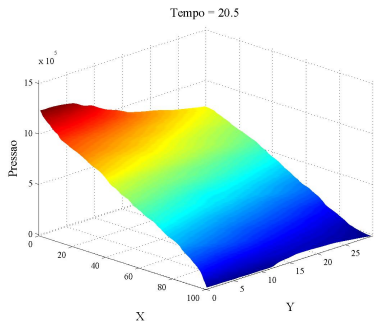
Pressão

Saturação

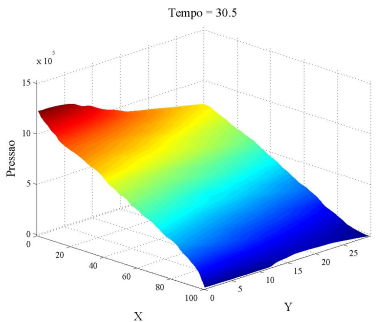


Pressão

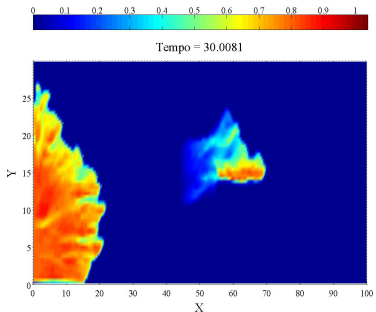
Saturação



Pressão

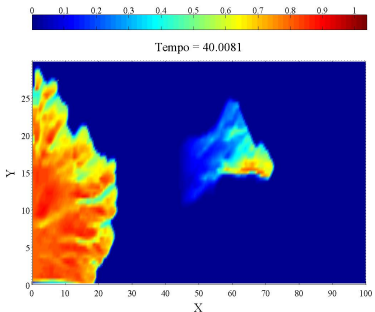
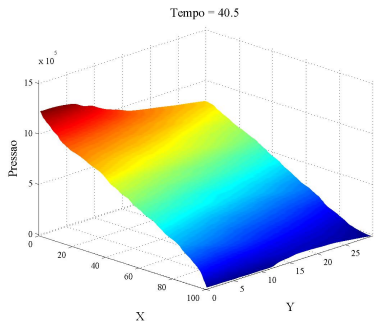


Saturação



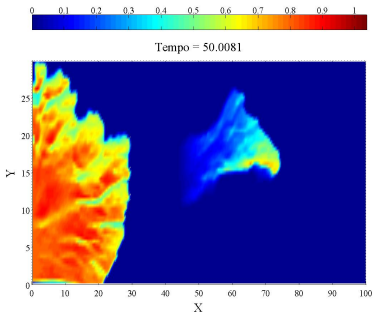
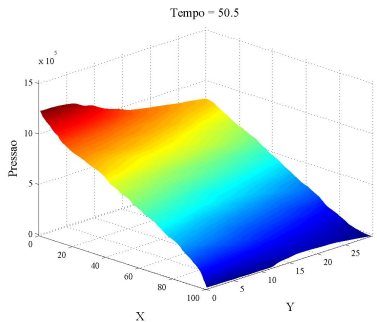
Pressão

Saturação



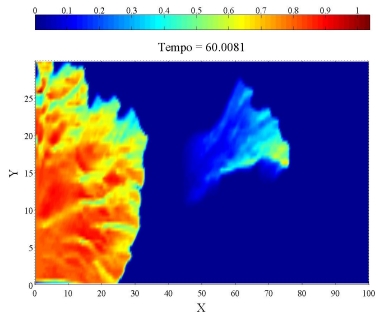
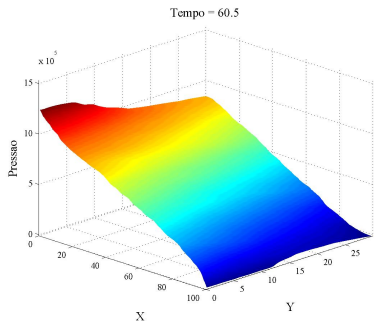
Pressão

Saturação

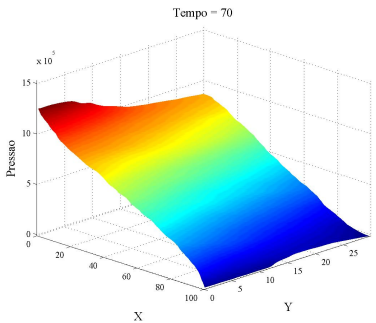


Pressão

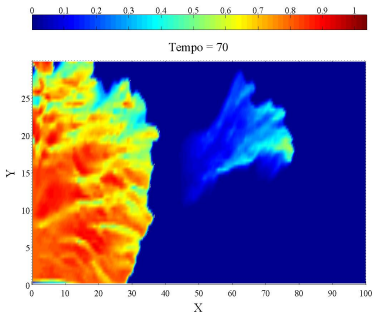
Saturação



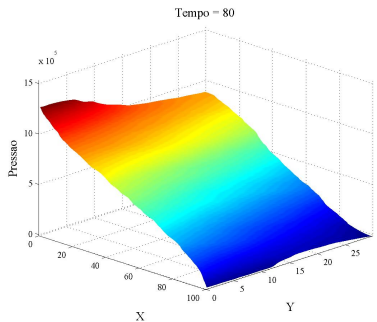
Pressão



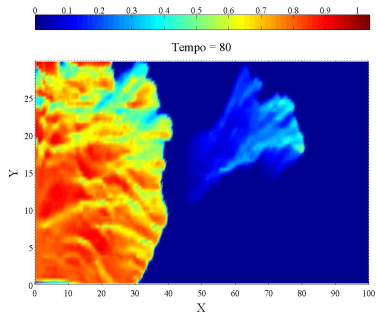
Saturação



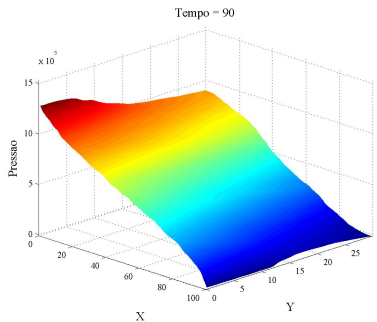
Pressão



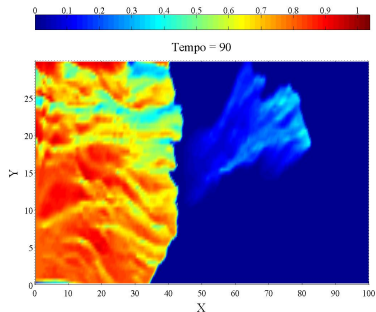
Saturação



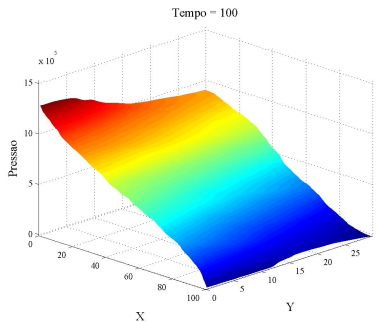
Pressão



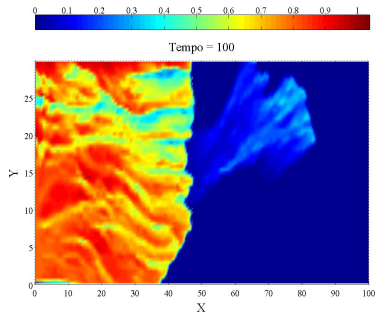
Saturação



Pressão



Saturação



Sumário

1 Motivação

2 Problema Físico

3 Modelagem do Problema

- Conservação de Massa
- Lei de Darcy

4 Algoritmo de Escalonamento e Discretização dos Subsistemas

- Hidrodinâmica
- Transporte

5 Simulações

6 Conclusões

Conclusões

- Foi feita uma breve explanação sobre as diferentes formas de recuperação de petróleo e abordamos as suas principais aplicações.
- Foi desenvolvido um novo modelo computacional baseado na formulação iterativamente acoplada para a simulação da prospecção secundária de petróleo;
- Foi executada a comparação com a solução analítica do problema do transporte;
- Outras simulações foram feitas a fim de verificar a resposta física do modelo.

Obrigado!